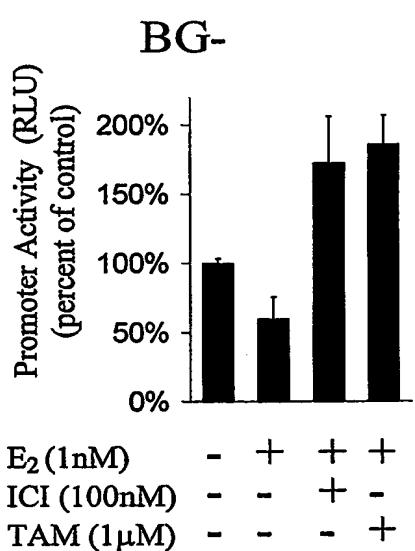
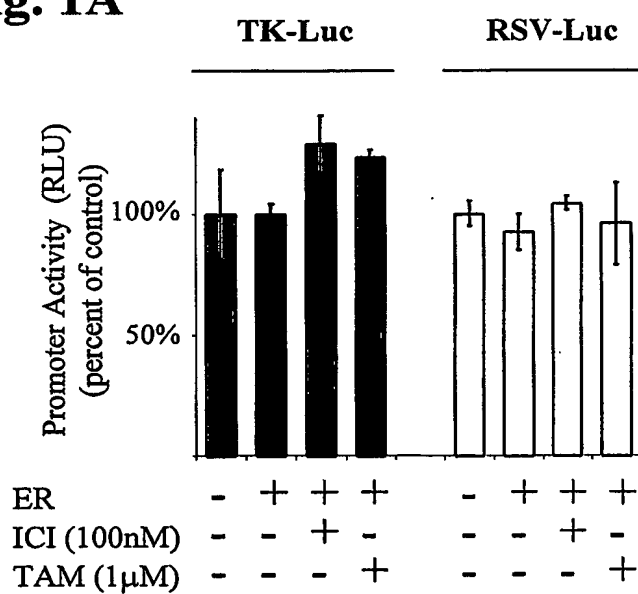
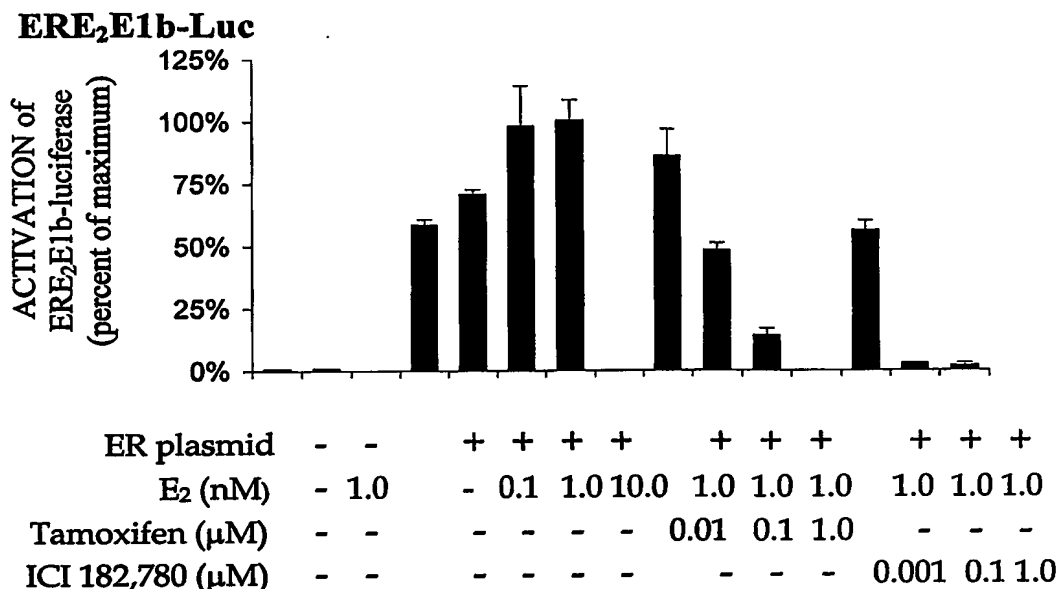
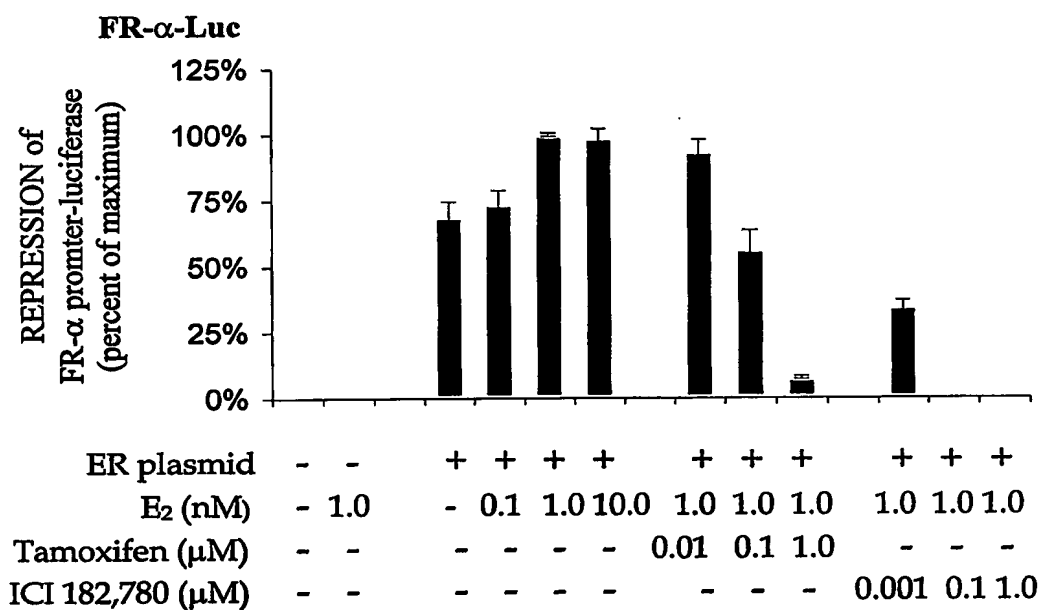
**Fig. 1A****Fig. 1 B****Fig. 1C**

**Fig.2A****Fig. 2B**

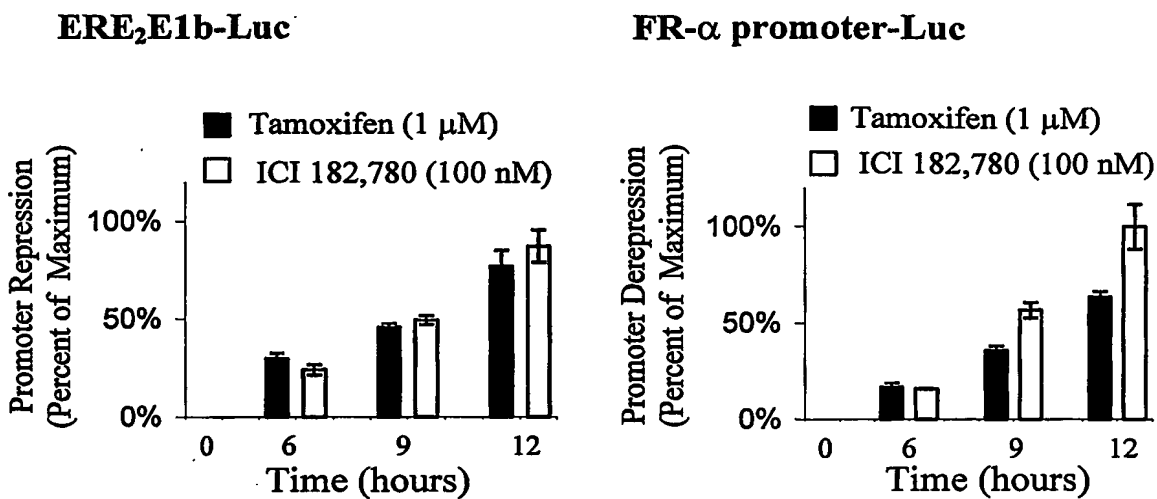


Fig. 3A

Fig. 3B

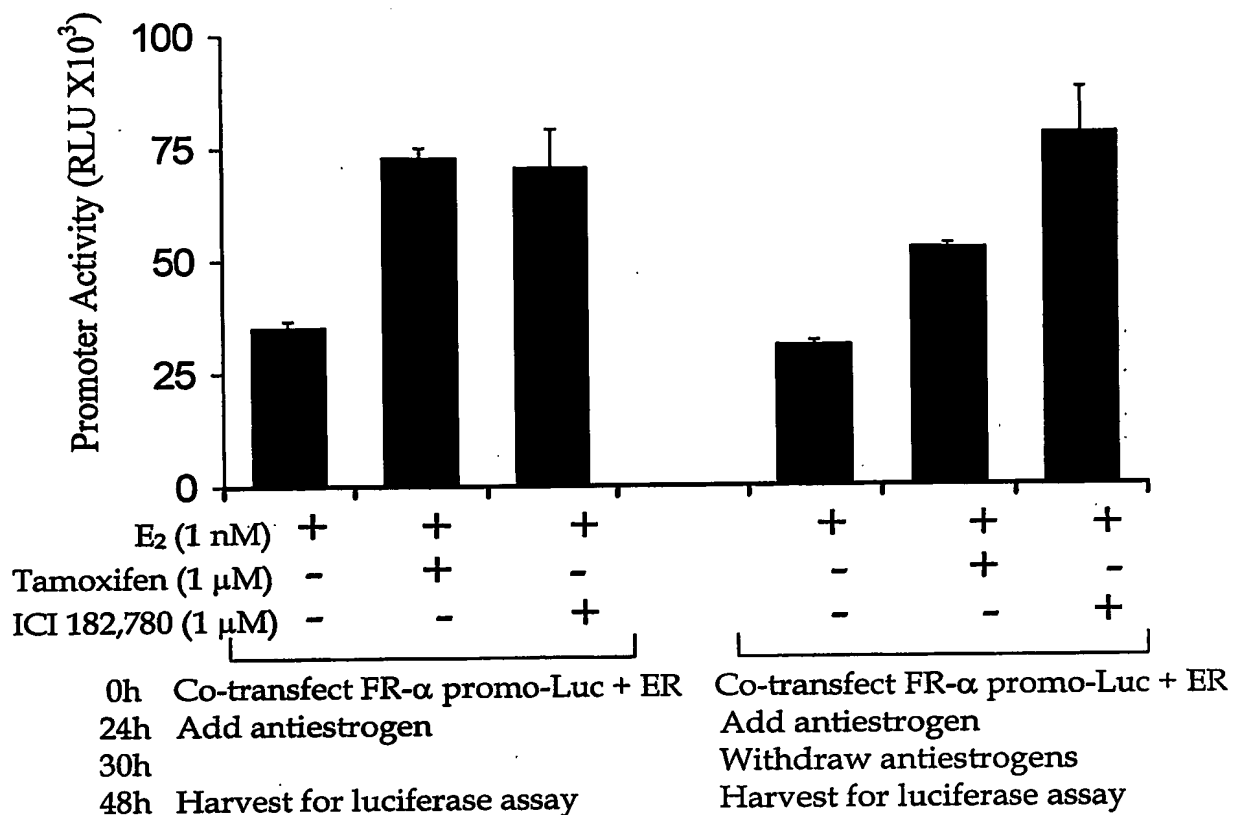


Fig. 4

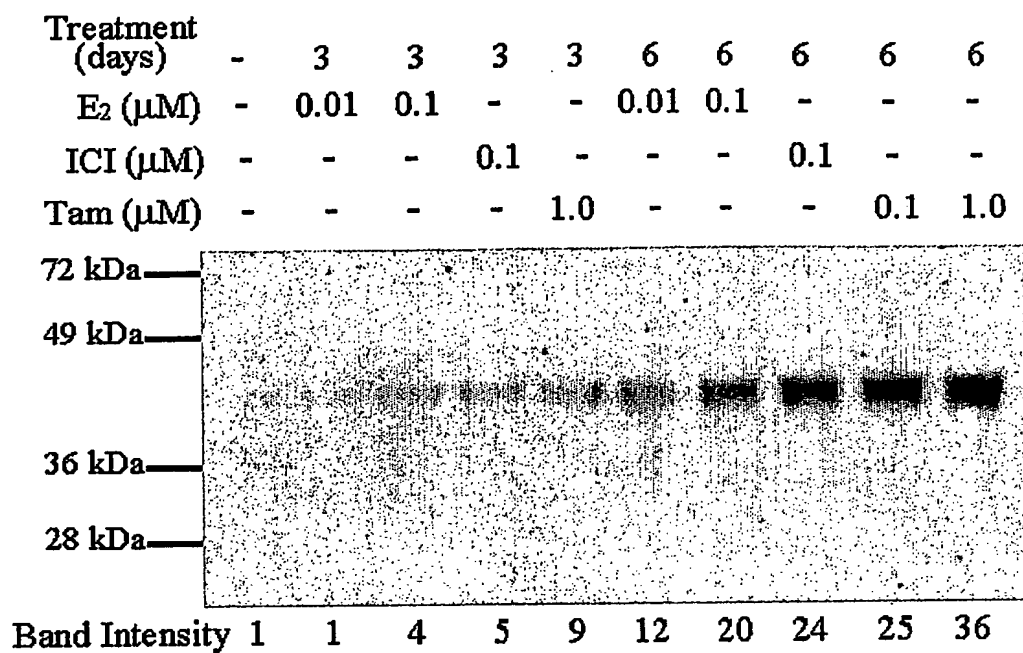
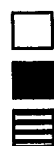


Fig. 5

AP-1-like site

-175	GTGACCACCTGGAGAAGGCA <u>A</u> TGAGGCTCAAGCC <u>A</u> GGGAC
-135	GGGTGGTGT CTAATCCTACCTTCATTGGATCTGGGAAAA
-95	CTGAGGGAGAT <u>GGGGG</u> C <u>GGG</u> CTCTATCTGCCAGGCTT
-55	CCGTCCAGG <u>CCCC</u> <u>ACCC</u> <u>CT</u> <u>CT</u> GGAGCCCTGCACACAACCTT
-15	AAGGCC <u>ccac</u> <u>tcc</u> <u>ttt</u> <u>ttt</u> <u>ttt</u> <u>ttt</u> gggccactgaccacagcttttcaggggacagacatg

Fig. 6A



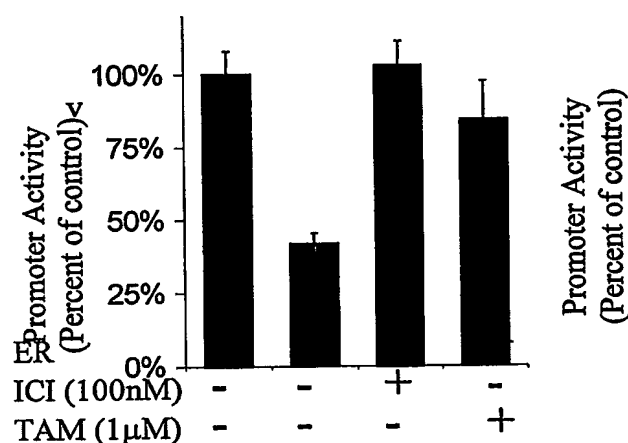
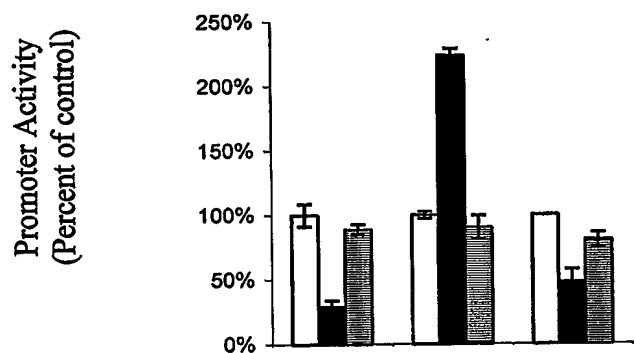
 Vector

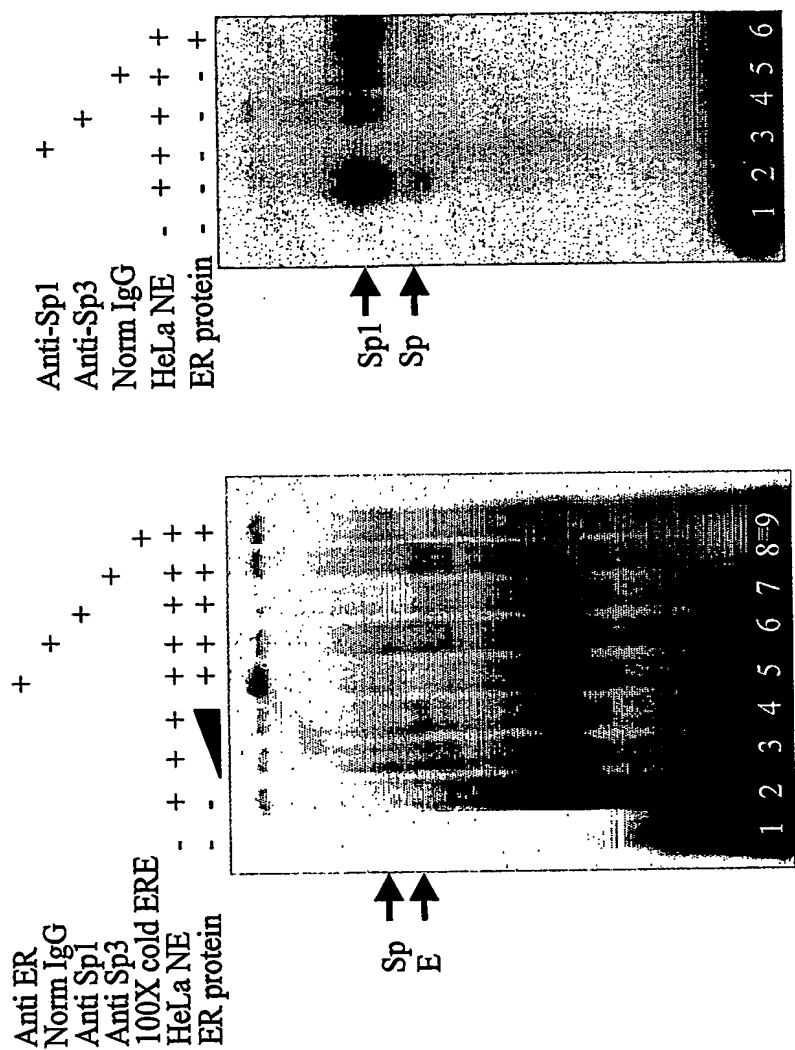


 ER



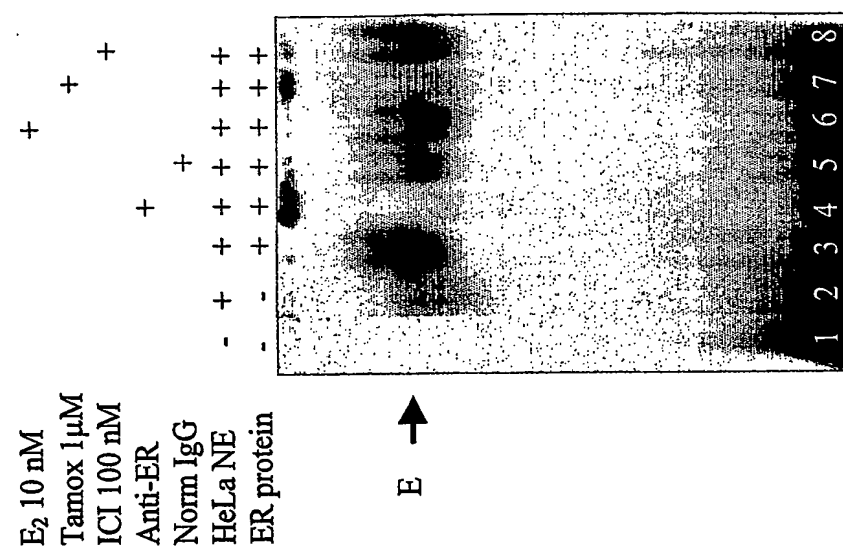
 ER + ICI 182,780 (100nM)

**Fig. 6B****Fig. 6C**



Consensus Sp1 probe

ER- α probe
-89nt to -50ntFig. 7A
Fig. 7B



Consensus ERE probe

Fig. 7D

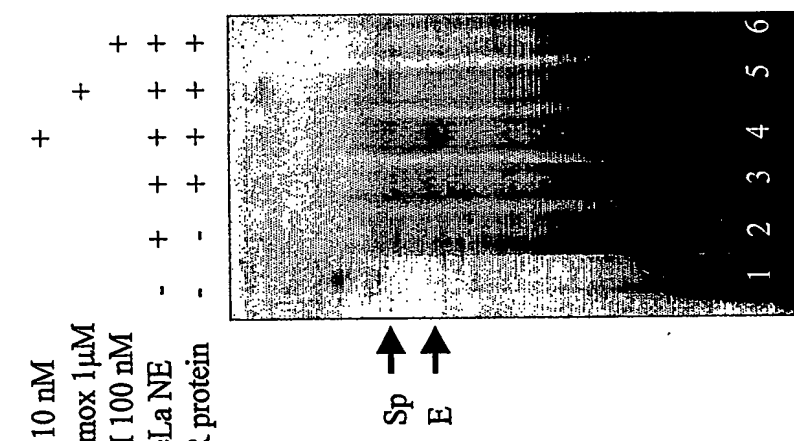
FR- α probe
-89nt to -50nt

Fig. 7C

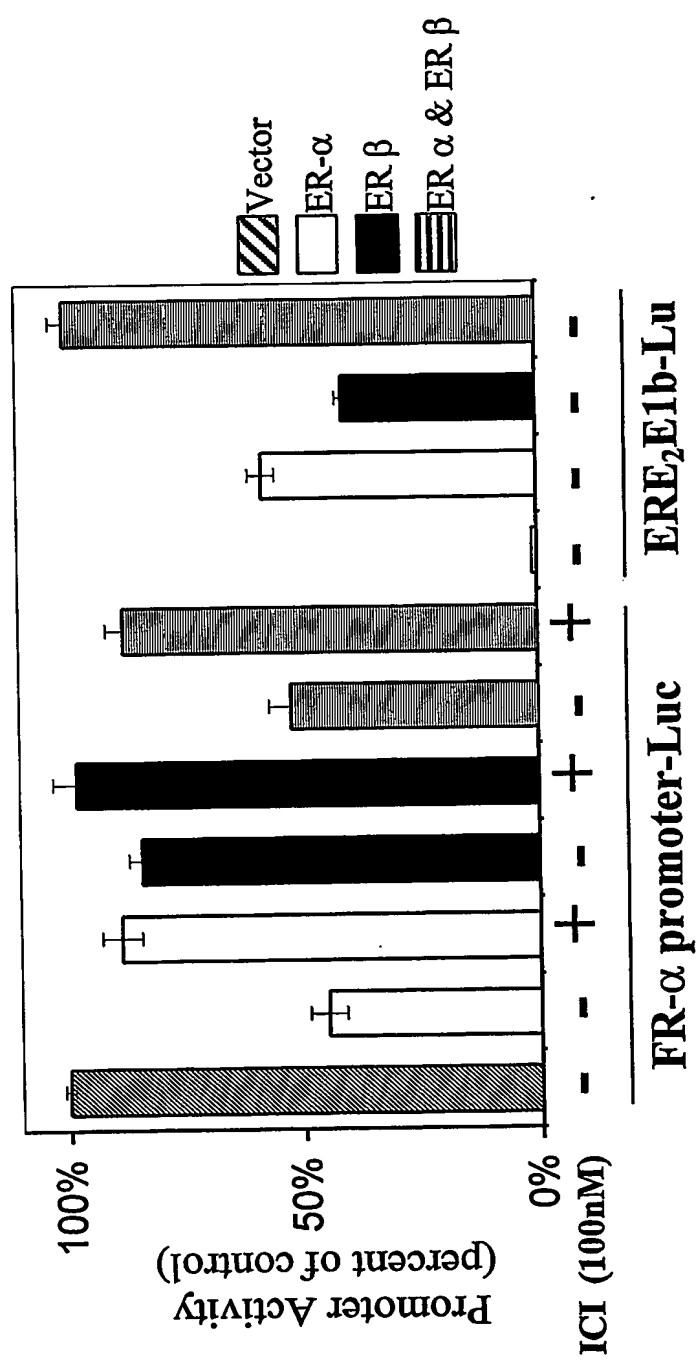
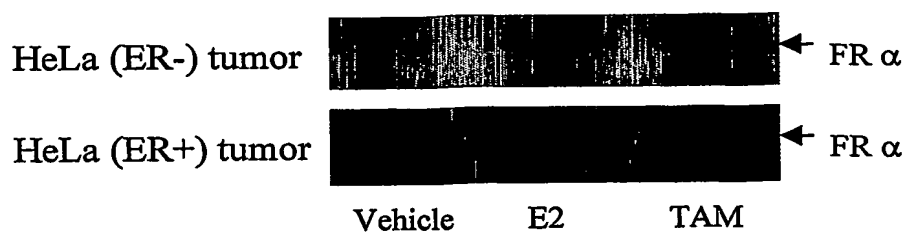
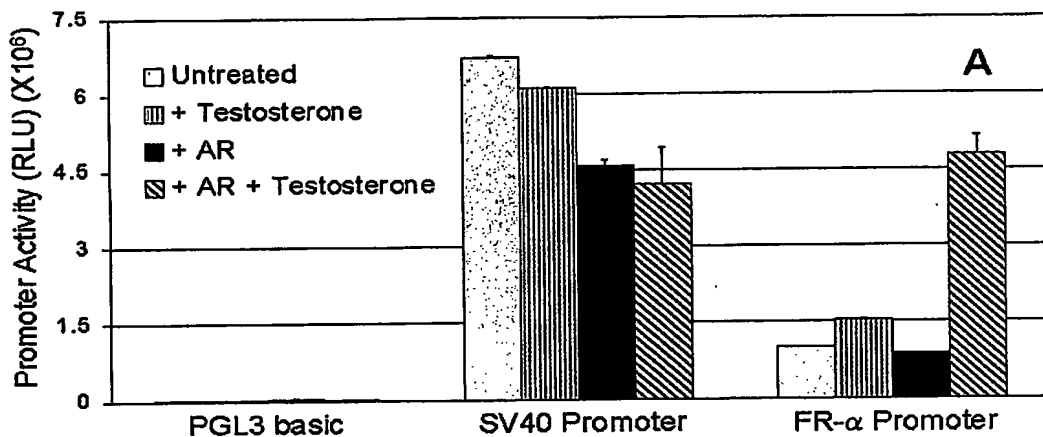
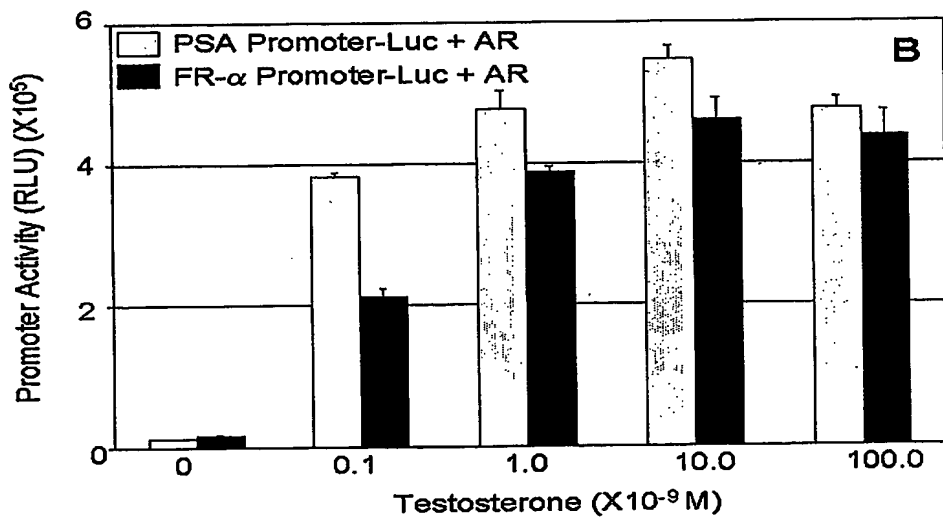
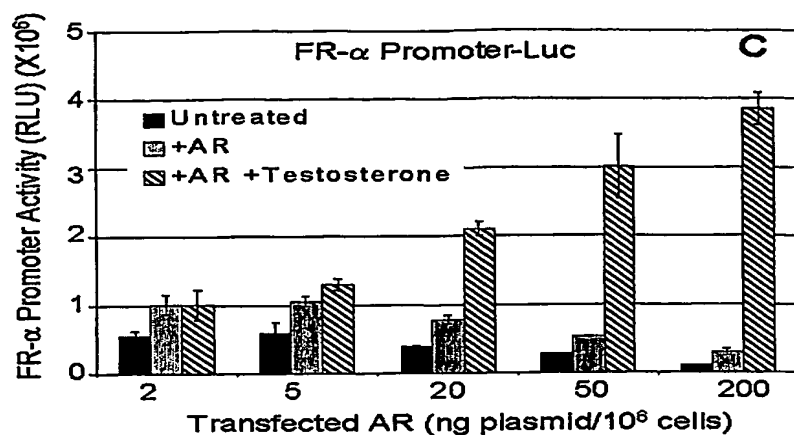
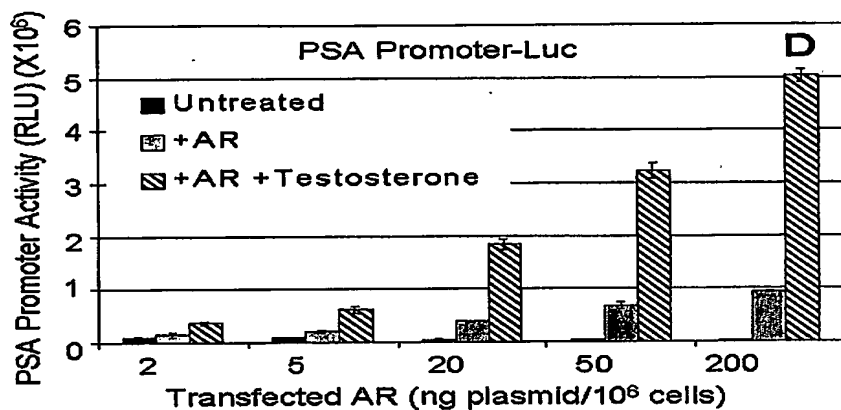
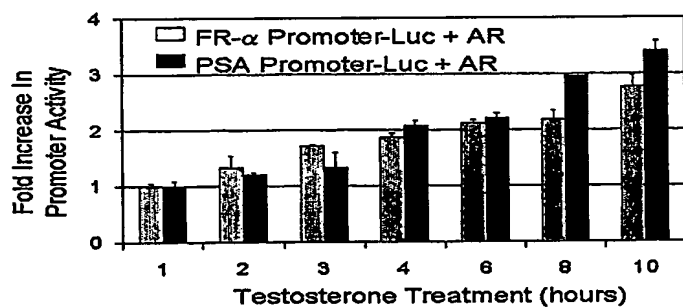
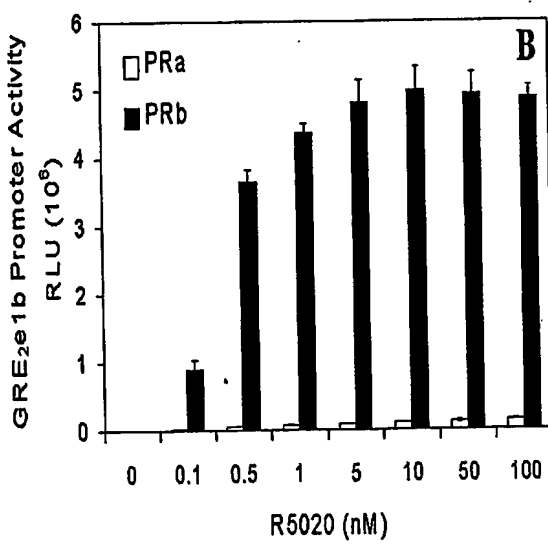
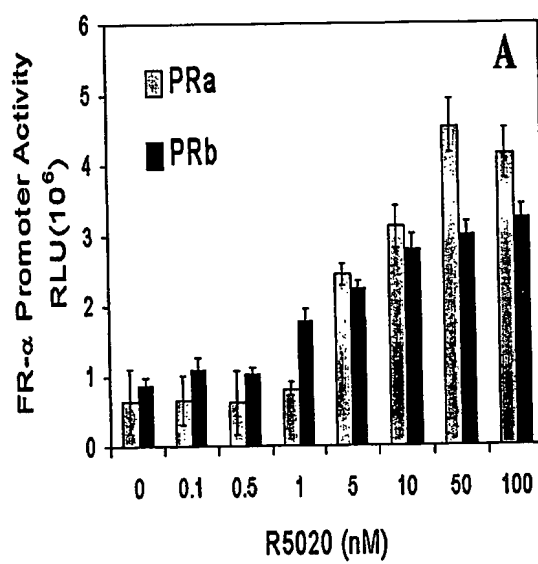
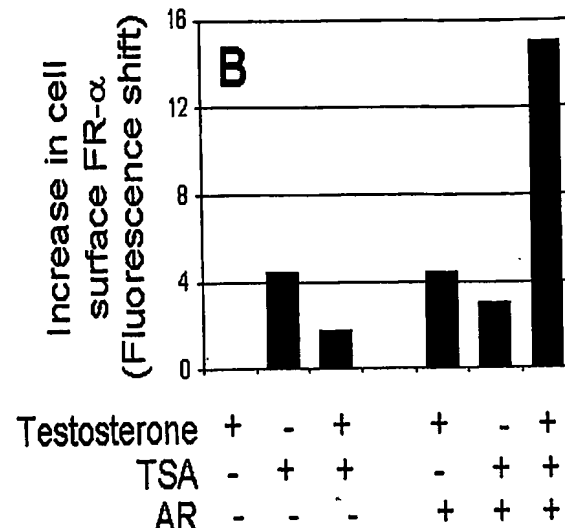
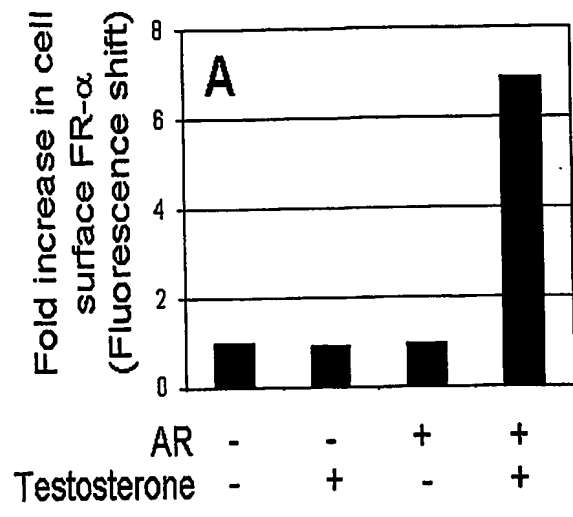
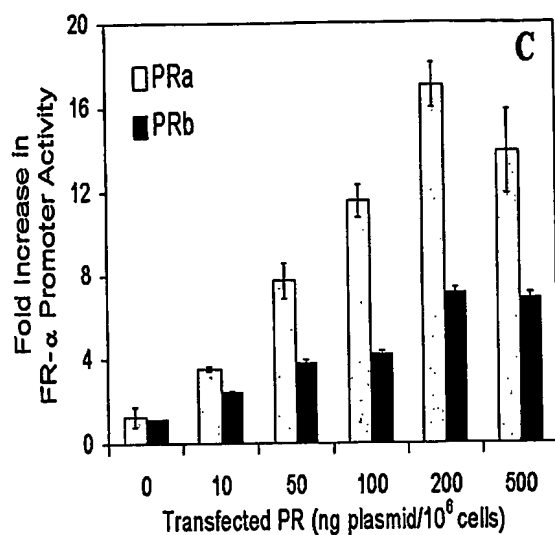
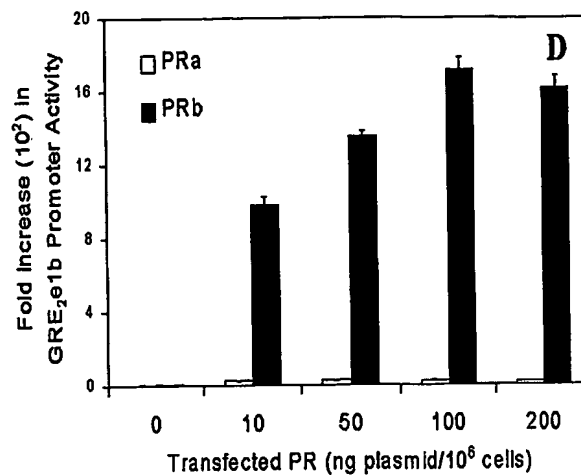
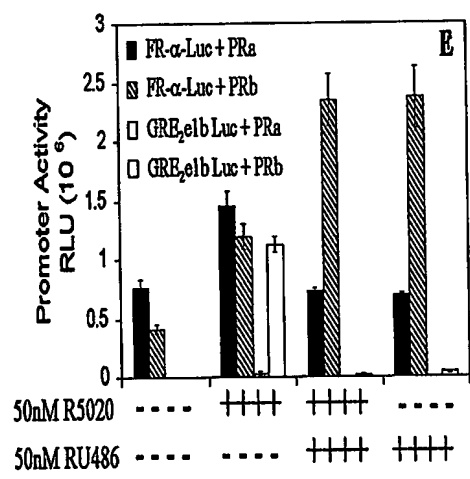
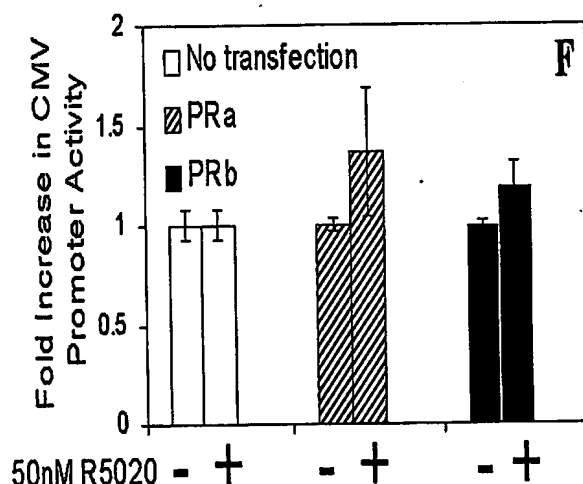


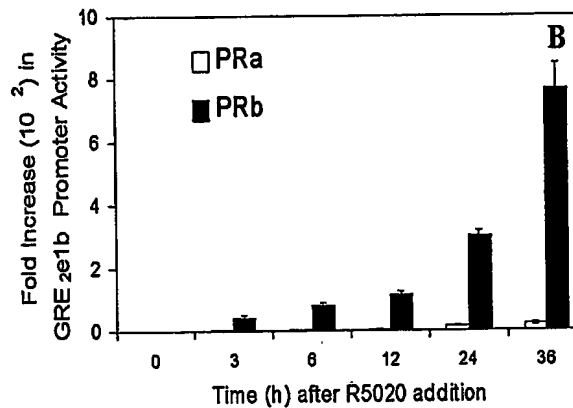
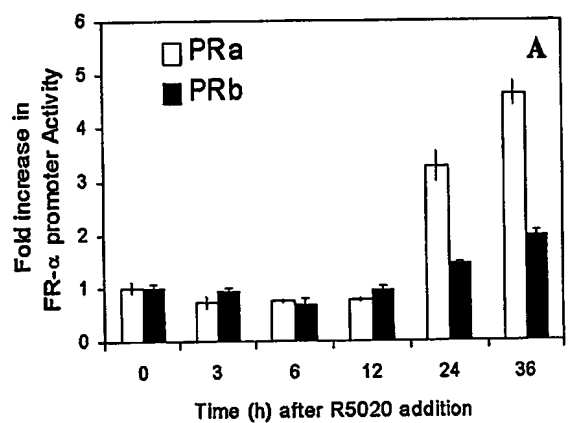
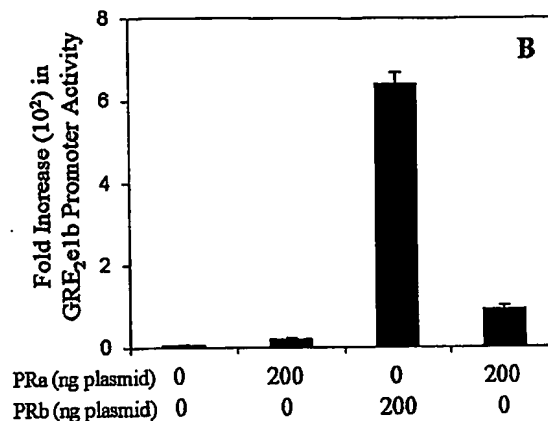
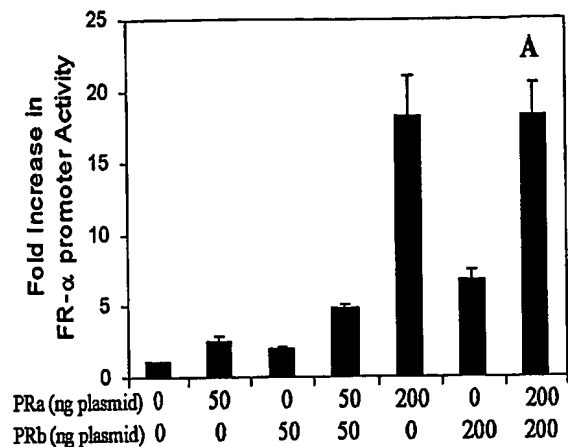
Fig. 8

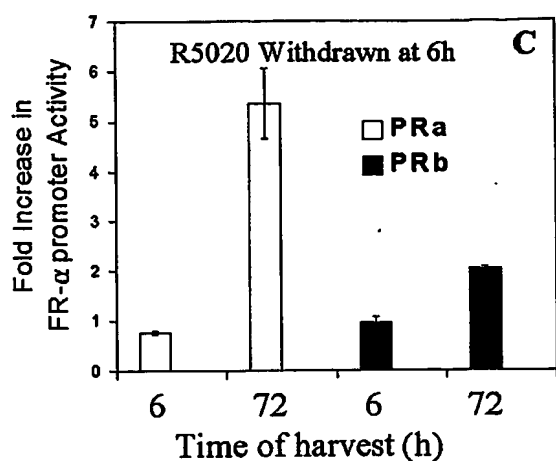
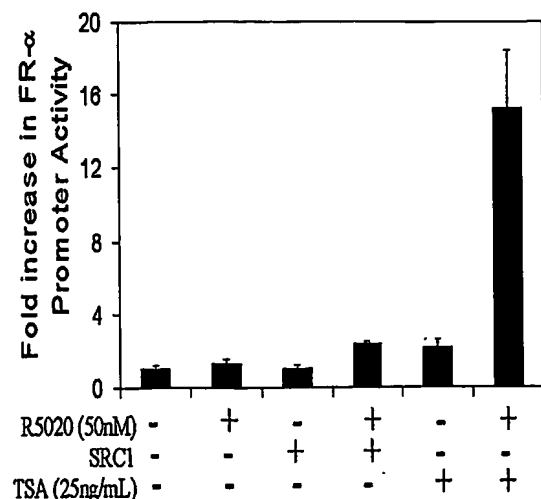
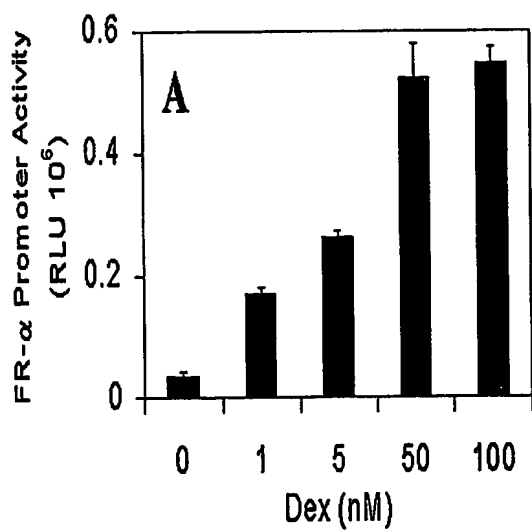
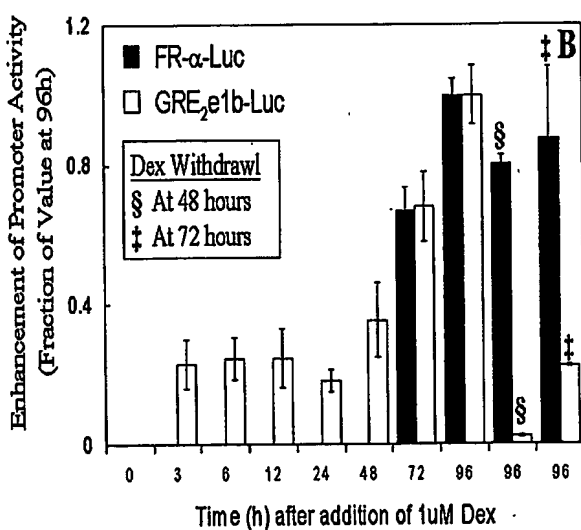
**Fig. 9****Fig. 10A****Fig. 10B**

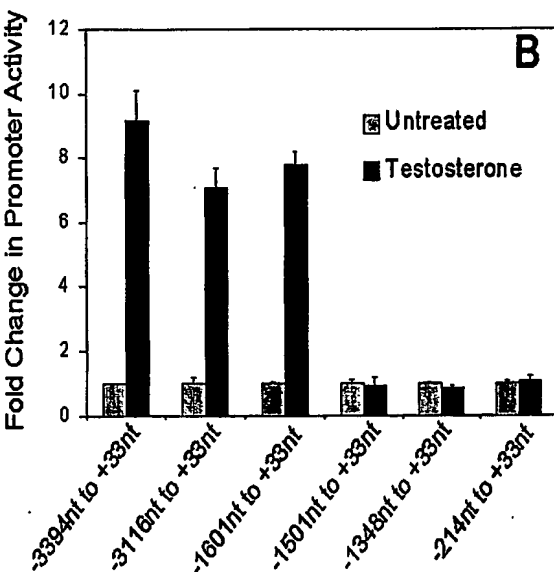
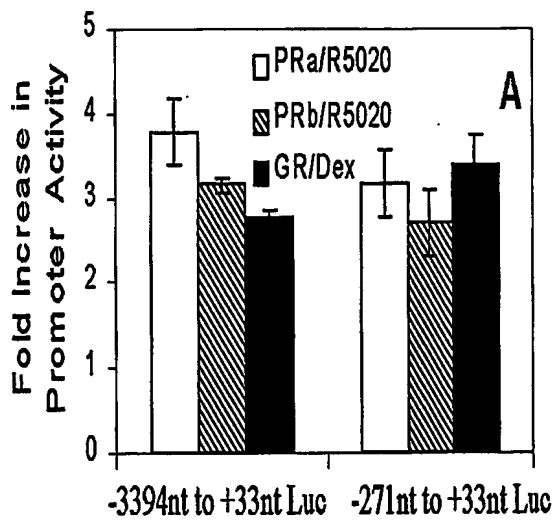
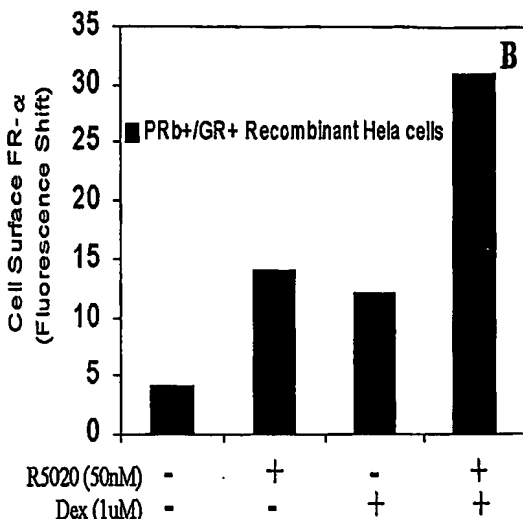
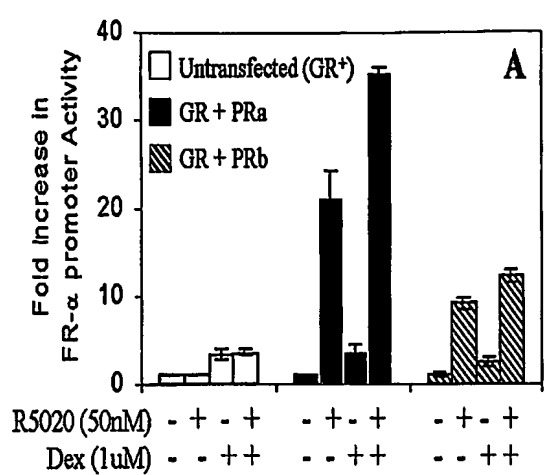
**Fig. 10C****Fig. 10D****Fig. 11**



**Fig. 13C****Fig. 13D****Fig. 13E****Fig. 13F**



**Fig. 15C****Fig. 16****Fig. 17A****Fig. 17B**



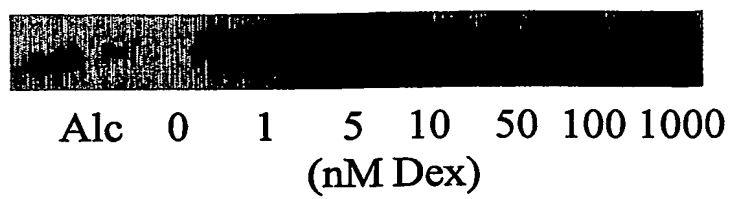


Fig. 20A

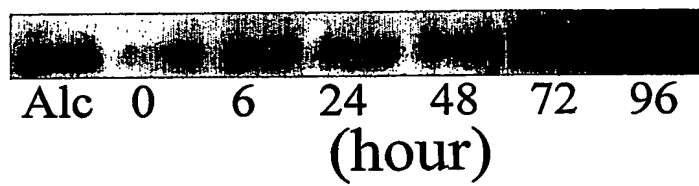


Fig. 20B

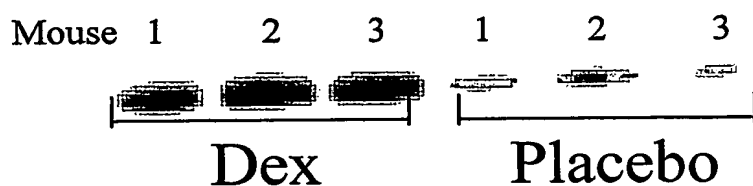


Fig. 20C